

福岡大学 正員 山崎惟義

・ 大西和味

・ 花嶋正孝

1. まえがき

前報において、準好気性埋立地の理論的検討を行はた。今回はそのうちで埋立廃棄物中における空気の移動について理論的な検討を行はい、これに基づいてガス flux の数値計算を行はた。又実験で求めた空気流入量と計算で求めた入口付近のガス flux とを比較検討した。これにより埋立構造により流入空気量が異なる事、実験と理論とがかなり良く合致する事などにより、合理的な埋立構造の決定へ一步前進して。

2. 理論的考察

準好気性埋立構造において、ゴミ層内部への空気の流入が見受けられるという結果が得られている<sup>2)</sup>。この空気の流入は、好気性埋立の場合の様に外部から送風が行はれていれば「よいので、埋立地自身にそのメカニズムがあるはずである。これは前報<sup>1), 2)</sup>でも述べた様に、埋立ゴミ中の有機物が生物分解を受ける過程で、醸酵熱を発するが、この醸酵熱によりゴミ層内部のがスが温められ外部の空気との間に温度差を生ずることによると考えられる。すなはち、この温度差によつて生ずる内外の気体の密度差が内部のガスに対して浮力として働くため、この力によつて内部のガスに下から上への流動が生ずると考えられる。

このガスの流動は、醸酵熱、ゴミ層内の透気性などに依存すると考えられるが、これらを一度に解くのはかなり困難である。しかしゴミ層内部の温度分布が得られれば容易に解く事ができる。ここでは実験により得られた温度分布に基づき、ゴミ層内部のガス flux を求めた。

実際の埋立地は3次元的な構造を有しているが、山間埋立などの場合は、谷線にとってかたり細長い構造が多いこと、3次元を解くには要素数が多くなることなどを考慮、ここではゴミ層は無限に長く2次元構造を有しているとして以下の解析を行はた。

2次元  $xz$ -空間 ( $z$ : 鉛直方向) において、ガス flux  $J = (J_x, J_z)$  は次のように表わされる。

$$J_x = -K_x \left( \frac{\partial P}{\partial x} \right) \quad J_z = -K_z \left( \frac{\partial P}{\partial z} + f \right), \quad \frac{\partial J_x}{\partial x} + \frac{\partial J_z}{\partial z} = 0 \quad (1)$$

ここで  $P$ : 圧力,  $f$ : 密度,  $K_x, K_z$ :  $x, z$  方向の透気係数 である。

密度  $f$  は  $0^{\circ}\text{C}$ , 1気圧のときの密度を  $f_0$  とし、圧力変動に対する密度変化が無視できるとするとき、次の様に表わされる。

$$f = f_0 (T_0 / T) \quad (2)$$

ここで  $T_0$ :  $0^{\circ}\text{C}$  の時の絶対温度 である。さらに  $P = P_0 + p$  ( $P_0$ : ゴミ層上面の圧力) とする。

ガス flux の計算 ガス flux の計算に当つて、透気係数は実験より得られた  $K_x = 0.95 \times 10^{-2} \text{ cm/sec}$  を用いた。又簡単のためゴミ層内は等方性とし  $K_x = K_z$  とした。層内温度分布はいくつかの点の測定値を基に、定常熱伝導方程式  $(\frac{\partial^2}{\partial x^2} + \frac{\partial^2}{\partial z^2}) T = 0$   $T$ : 温度 を断熱境界条件の下に有限要素法で解いて得たものを用いた。(ガス flux は非常に小さいとして熱移動について対流項は無視した。)

境界条件としては  $\mathbf{n}_1: P = P_B, \frac{\partial P}{\partial \mathbf{n}_1} = 0$  ( $\mathbf{n}_1$  は境界の法線ベクトル),  $\mathbf{n}_2: J_x n_{x2} + J_z n_{z2} = J_B$  の3種類を想定した。

変分原理に基づいて式(1)を変形すると

$$\int_{\Omega} (K_x \frac{\partial P}{\partial x} \frac{\partial \delta P}{\partial x} + K_z \frac{\partial P}{\partial z} \frac{\partial \delta P}{\partial z}) d\Omega = \int_{\Gamma_2} K_z f n_z \delta P d\Gamma - \int_{\Gamma_3} J_B \delta P d\Gamma - \int_{\Omega} K_z f \frac{\partial \delta P}{\partial z} d\Omega \quad (3)$$

ここで  $d\Omega$ : 面積要素,  $d\Gamma$ : 線要素,  $\delta P$ : 変分量 である。

全領域を三角形要素  $\{e_i\}$  に分割すると、各要素  $e_i$  について未知関数  $P = P(x, z)$  は3つの節点の  $\{P_i\}$  によって  $P = \sum N_i(x, z) P_i$  という形に直線内挿される。そして  $\delta P$  は  $\delta P = \sum N_i \delta P_i$  と定義される。今境界条件を考

慮すると式(3)は次の様になる。

$$[K]\{P\} = \{F(T)\} \quad (4)$$

これより  $\{P\}$  を求めガス flux を計算した。実際に計算するに当っての入力データー及び境界条件は次のようである。まずゴミ層上下間の外気の圧力差  $\Delta P$  は  $0^\circ\text{C}$  1気圧の空気の密度が  $\rho_0 = 1.293 \times 10^{-3} \text{ g/cm}^3$  のので、 $\Delta P = \rho_0 \times T_0 / (k + \rho_0) \times H = 273 \text{ K} \times 85 \text{ cm}$ , 外気温  $T = 30^\circ\text{C}$  とすると、 $\Delta P = 0.0998 \text{ g/cm}^2$  となる。

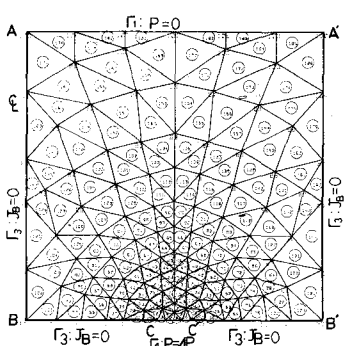
今回は図(1) 及び図(2)に示す二つのモデルについて計算を行った。

第1槽: 図(1)に示した領域 ABC C' B' AA ( $84.5 \text{ cm} \times 87.8 \text{ cm}$ ) を 186 の三角形要素に分割した。又同図に各境界条件も示した。これを基に有限要素法によりガス flux を計算した。この結果を図(3)に示した。この時の入口 C-C' における空気流入量は  $3.3 \times 10^{-6} (\text{g/cm}^2 \text{ sec})$  であった。

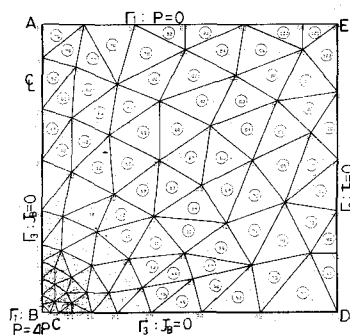
第2槽: 図(2)に示した領域 ABC D E A ( $85.2 \text{ cm} \times 87.8 \text{ cm}$ ) を 102 の三角形要素に分割した。又同図に各境界条件も示した。これを基に有限要素法によりガス flux を計算した。この結果を図(4)に示した。この時入口 B-C における空気流入量は  $5.3 \times 10^{-6} (\text{g/cm}^2 \text{ sec})$  で第1槽の場合より 1.8 倍大きな値を示した。

### 3 考察

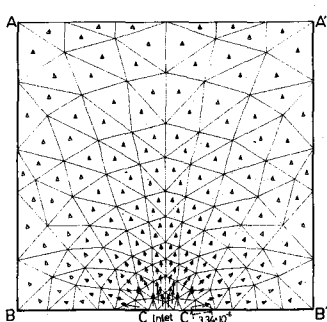
実験ではゴミ槽内各處のガス flux を得ることはできない。そこで計算と比較し得られた唯一のデーターである入口の空気流入量と計算で得られた値を比較すると表(1)の様になる。表(1) 実験と計算との比較  
計算で得られた値は入口ではなく、入口に隣接する要素の flux の平均値より求めたものである。この表から分る様に、1槽と2槽で 1.6 倍程度流量が異なる。この事によって構造の異なる埋立地におけるガスの流入量が異なる事、(いっては内部の好気性状態が異なると考えられる事など)を示し得た。そこでさらに実際の埋立地に近い入口流入量 ( $\text{g}/\text{cm}^2 \cdot \text{sec}$ ) 平均値 11 モデルについて計算を行うことによって合理的な埋立地の構造及び設計法を確立せよう。



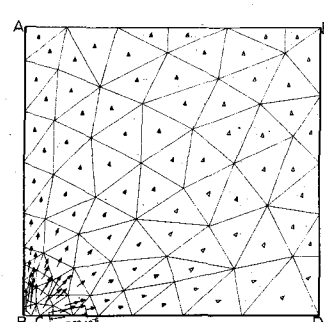
図(1) 第1槽の  
境界条件と三  
角形要素分割  
C-C'が入口



図(2) 第2槽の  
境界条件と三  
角形要素分割  
B-Cが入口



図(3) 第1槽の  
ガス flux, 矢印が各要素の  
ガス flux のベクトルを表わ  
している。  
図内の数値は  
flux の大きさ  
で単位は  $\text{g}/\text{cm}^2 \text{ sec}$



図(4) 第2槽の  
ガス flux, 矢印が各要素の  
ガス flux のベクトルを表わ  
す。  
図内の数値は  
flux の大きさ  
で単位は  $\text{g}/\text{cm}^2 \text{ sec}$

1) 花嶋正彦他, 土木学会第33回年次学術講演会 PP.133-136 (1978), 2) YAMASAKI, K., 福岡大学工学集報 Vol.22 No.1 (1979).